

X射线在科学 和技术上的应用

伊·維·亞沃爾斯基



科学 技术 出版社

X射綫在科学和 技术上的应用

(苏联) 伊·雄·亚沃尔斯基著
(И. В. Яворский)

田 玉 譯

科学技术出版社
1959年·北京

本書提要

本書簡要地闡述了X射線的物理性質（X射線激發的條件和它的特性等）及在科學和技術上運用X射線的基本方法（光譜分析和結構分析）。同時，敘述了利用X射線來進行對精確測量單胞大小、樣品中彈性應力、固溶體結構等方面的研究。

總號：1428

X射線在科學和技术上的應用

著者：Н.В.Яворский

譯者：田玉

出版者：科學技術出版社

（北京市內直郵外埠空運）

北京市書刊出版委員會許可證字第001號

發行者：新華書

印制者：北京市通州區印刷

開本：787×1092毫米 印張：1 $\frac{1}{4}$

1959年9月第1版 字數：20,000

1959年12月第2次印刷 印數：1,001—2,000

統一書號：13051·289

定價：(9) 1角6分

Китайским товарищам
ко дню годовщины создания
Китайской Народной Республики
от советского друга

Михаил У. В. Яворский

献给中国同志：

庆祝伟大的中华人民共和国建四十周年：

多谢朋友。

伊维·瓦茨拉斯基

目 次

一、X射綫的發現及其性質	1
二、X射綫的連續光譜和標識光譜的激發	5
三、X射綫光譜分析	13
四、X射綫結構分析	15
五、用X射綫粉末相進行相分析和化學分析	23
六、精確測量單胞的大小	29
七、樣品中彈性應力的研究	31
八、固溶體結構的研究	33
九、X射綫分析在其它物理-化學分析法中的地位和作用	36
十、研究物質結構的主要目的	37

一、X射線的發現及其性質

1895年，德国物理学家倫琴（符茨堡大学的教授）在研究电子流通过陰極管●內的稀薄气体所發生的現象时，發現在電極間电位差較高的条件下，与此过程的同时产生一种新的肉眼見不到的射線，这种射線称为 X射線。当它通过管子的玻璃时，在玻璃中产生电荷，致使氯鉑發光；它与照相底片的作用，和可見光相似。

X射線具有穿过不透光的材料的卓越本領，例如可穿透馬糞紙和鋁等等。

由輕的化学元素所組成的物質，对 X射線几乎都是透明的，而重元素几乎將 X射線完全吸收。

吸收定律：物質的密度和質量愈大，X射線在物質中被吸收（減弱）得也愈多。

当倫琴第一次拍攝了人手和獵枪的照片以后，完全确定 X射線在医学和技术上必然引起很大的作用。医学上 X射線学的發展引起了 X射線技术的迅速發展。

圖 1 为 X射線發射示意圖。

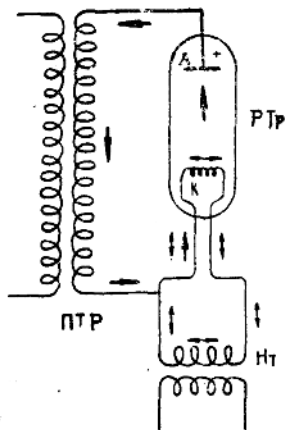


圖 1

● 陰極管是有二電極的真空的電學儀器；當其兩極接以一定的電位差時，即發生所謂陰極射線（有方向的電子流）。

其中 HTP——高压变压器；

PTp——X射线管；

A——X射线管阳极（用水流冷却的重金属）；

K——X射线管阴极，它是细的钨丝圈；当电流从相应的电源（灯丝变压器——H_T）通过它时，就烧热到2,000—2,200°C；

→——高压变压器的次级线路中电子运动的方向；

←→——X射线管和两极整流管的灯丝电流。

X射线管工作的原理如下：将阴极灯丝烧热，放出电子，在阴极上加以高压并将阳极接地，使得管内产生了加速电子飞向阳极的电场。当电子飞向阳极镜面——焊接在阳极杆端的薄片上时，则产生了由阳极发出的X射线；一般说来，这种射线向四面八方发射的。

阳极镜面可以用各种材料制成，用铜或铁作为阳极的X射线管，在X射线结构分析方面运用得最广。在工业和医学上采用的X射线管的阳极镜面是用钨制成的，有时用钼制成。

由这种X射线管发出的射线性质决定于附加管压、管流强度（阳极电流）和阳极材料；而阳极电流又决定于阴极的灯丝电流（H_T）。

在BCB●型X射线结构分析管中，当电压在30千伏左右时，最大的阳极电流为15—25毫安。若超过这一限度，阳极镜面就会很快烧坏，因为冷却阳极的水流来不及将电子冲击阳极时产生的热发散出去。如果忘记了打开冷却阳极的水流，那末管子必然受到损坏；阳极假如不加以冷却，经过数分钟则可烧热

● BCB-4-6型管是作结构分析用的装有冷却装置安全的X射线管；管内有四个小窗，用来放出X射线。供给X射线管的最大允许电压为60千伏。

到白熾，管內真空情況就顯著變壞，以致使管子破裂。

應該經常記住：電子束的能量仅有非常微小的一部分轉變為X射線能（小於1%），實際上射入X射線儀的全部能量几乎都分解為熱量。

進行結構分析時所加在管上的電壓不大（25—50千伏）。在工業和醫學上採用的電壓較高（100—400千伏，有時達2,000千伏）。附加的管壓愈高，射線的穿透能力也愈大；也就是說射線愈硬。當電壓為180—200千伏時，所產生的射線為最硬，用這種射線不仅可以發現人體內部的毛病，也可檢驗出金屬製品內部的缺陷。用X射線檢驗製品和半製品內部的缺陷是X射線學應用在工業上的主要方面。

X射線缺陷檢驗和醫學上X射線診斷，是以首先為倫琴所發現的這個新射線的特性——穿透的本領——為基礎的。

此外，醫學上的X射線治療是利用射線的另一種特性，這就是射線與生物機體細胞的作用。實驗證明直接用硬射線（穿透人體內部的射線），可以治療癌腫，這是因為X射線破壞癌的細胞要比破壞健全組織的細胞快得多❶。X射線在其它方面的運用，是在更深一步地研究與X射線自然性質有關的特性的基礎上發展起來的。

關於新射線的自然性質這一問題，在很長時期里，是一個不明了的問題。有些物理學家認為X射線是與電子相似的快速飛行的小質點，另一些物理學家（包括倫琴在內）則認為X射線是電磁波；與無線電天線發射的電波類似，也和可見光波類似，只是波長很短。

❶ 詳見1954年4月地質出版社出版的伊·維·亞沃爾斯基著的“X射線學基礎”一書附錄：X射線實驗室組織工作和生產工作的技術規範。

在1912年劳埃和他的助手弗里德里赫和克尼宾格，試驗用X射線穿过晶体时，觀察到干涉和衍射圖案，这就証实了倫琴和其它学者的波的概念的正确性。

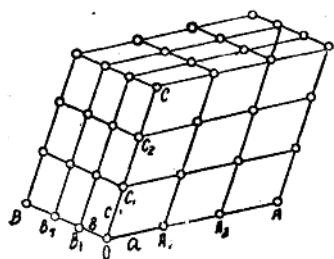


圖 2

劳埃在理論上的研究和所作的实验，对于X射線学和結晶体学有着基本的意义，这是因为第一次証实了下列兩個假設：

1. X射線是电磁波（表1），其波長为1埃(Å)；

表 1 电 磁 波

各种波(射線)的名称		一秒鐘內振盪頻率 (平均)	波 長 λ (厘米)	波 長 λ (实际單位)
用电工仪器得到的 电磁波	交流电流	$5 \cdot 10$	$6 \cdot 10^8$	6,000公里
	電話电流	$5 \cdot 10^2 - 5 \cdot 10^3$	$6 \cdot 10^7 - 6 \cdot 10^6$	600公里—60公里
	長波	$5 \cdot 10^4 - 5 \cdot 10^5$	$6 \cdot 10^5 - 6 \cdot 10^4$	6公里—600米
	無綫 電波	$5 \cdot 10^6 - 5 \cdot 10^7$	$6 \cdot 10^3 - 6 \cdot 10^2$	60米—6米
	短波	$5 \cdot 10^8$	$6 \cdot 10$	60米
	超短波			
原子的电 磁辐射 (平均数)	紅 外 線	$5 \cdot 10^{13}$	$6 \cdot 10^{-4}$	6μ
	可見光 線	$4 \cdot 10^{14} - 8 \cdot 10^{14}$	$4 \cdot 10^{-5} - 8 \cdot 10^{-5}$	$0.8\mu - 0.4\mu$
	紫 外 光 線	$5 \cdot 10^{15}$	$6 \cdot 10^{-6}$	600Å
	軟 X 射 線	$5 \cdot 10^{16} - 5 \cdot 10^{17}$	$6 \cdot 10^{-7} - 6 \cdot 10^{-8}$	$60\text{\AA} - 6\text{\AA}$
	硬 X 射 線	$5 \cdot 10^{18} - 5 \cdot 10^{19}$	$6 \cdot 10^{-9} - 6 \cdot 10^{-10}$	$0.6\text{\AA} - 0.06\text{\AA}$
	伽 瑥 射 線	$5 \cdot 10^{20}$	$6 \cdot 10^{-11}$	0.006\AA

$$1\text{\AA} = 10^{-8} \text{ 厘米}, 1\mu = 0.001 \text{ 毫米}.$$

2. 晶体中原子之间的距离同样为1埃(Å)，而且原子在晶体中的排列是有规则的并形成空间格子(图2)。

在劳埃实验以前，对这两个假设人们还是有些怀疑的；但当发现了X射线对晶体能产生衍射以后，这些假设便变成了实验所肯定的事实了。

布拉格父子发展了劳埃的富有成效的实验，为X射线光谱分析和X射线结构分析奠定了基础。并且证明了如果找出了由某种物质所发射出的射线成分(此物质的X射线谱)，就可以确定出此物质是由何种化学元素组成的。另一方面，将射线穿过结构不明的晶体，就可明确定出该晶体中原子的排列。

X射线结构分析和X射线光谱分析是以研究X射线与晶体中原子相互作用时所引起的一切现象为基础的。在讲述这种相互作用之前，必须说明X射线管辐射的特征。

与可见光谱一样，X射线也有各种不同的类型。下面介绍光谱的两种主要类型：

1. 连续光谱——是由X射线管发射的由全部波长(在某一范围内)构成的光谱。

2. 标识光谱——是由X射线管发射出的一种波长所构成的光谱●(在一般情况下，是由某些严格规定的波长构成的)。

二、X射线的连续光谱 和标识光谱的激发

当电子从灼热的阴极灯丝飞出时，电场强度迫使电子飞向阳极，此时，电子的速度不断地增大——电场的位能(阴极和阳极之间)转变为电子的动能。若电场的电位沿着路径改变了

● 标识光谱总是产生在连续光谱的背景上。

V伏(由0至-V)，在此路徑上电子所获得的动能則为：

$$\frac{mv^2}{2} = eV.$$

任何不匀速运动的电荷(这种情况下为电子)在自己的周围激發起交变的电磁場，向四面八方以光速(3×10^{10} 厘米/秒)傳播。当具有高速的电子达到陽極的表面时，电子極其猝然地被截止，隨之也剧烈地發生电磁場的变化，电磁場的这种剧烈的变化——电磁脉冲——这就是管子輻射出来的X射綫量子。

在一般情况下，X射綫管中的电流强度是10毫安=0.01安，即一秒鐘內通过0.01庫侖的电荷。因为电子电荷等于 1.6×10^{-19} 庫侖，则在一秒钟內应当有 6×10^{16} 个电子射到陽極上，因而也产生同样多的电磁脉冲(量子)，此脉冲的总和就是从波長 λ 最小到 $\lambda \approx \bullet$ 連續放射出的X射綫流。

連續光譜的强度(每秒鐘內量子数)和电流强度(i)、陽極物質的原子序数(Z)及附加管压的平方(V^2)成正比②。

連續光譜在結構分析中一般仅仅在最初阶段用来研究單晶(确定晶体中的对称要素，定出晶体主軸的方位等等)。

研究多晶体粉末的結構时，不仅不采用連續光譜，甚至在攝譜时連續光譜成了干扰物，因为有了連續光譜，在X射綫譜

① 波長不可能等于零，因为等于零后所得的电子能量将是無限大，实际上：

$$E = \frac{mv^2}{2} = eV = h\nu = \frac{hc}{\lambda},$$

由此应得： $\lambda_{\text{最小}} = \frac{hc}{e} \cdot \frac{1}{V}$ 或 $\lambda_{\text{最小}} (\text{Å}) = \frac{12.34}{V(\text{千伏})}$;

若 $\lambda=0$ ，則 $V=\infty$ ，推得 $E=\infty$ 。

● J (强度) = ai ； $J=bV^2$ ； $J=cZ$ 。(因此，在医学上和工業上应用的X射綫陽極鏡面大部分是由原子序数为74的鎔制成的。)

照相上产生不希望有的背景。

連續光譜主要應用在醫學上和工業上的透視方面（X射線診斷、X射線治療、X射線缺陷檢驗）。

在特殊的條件下，在連續光譜的背景上產生標識X射線。

標識光譜的產生是與陽極原子能量的變化有關，這種能量的變化是在快速電子“衝入”原子時的作用中發生的。當這些電子穿入原子內層時，如果電子的能量相當大，則可將內層電子“打擊”，原子的正常狀態遭受破壞。當原子恢復到原來未激發狀態時，就以輻射X射線的形式放出能量。

因為原子的能量只可以具有分立的數值，所以輻射就包含著一條條分離開來的譜線——標識X射線譜就是這樣產生的。

根據電子開始由何層逸出，分為K、L、M、N、O、P……

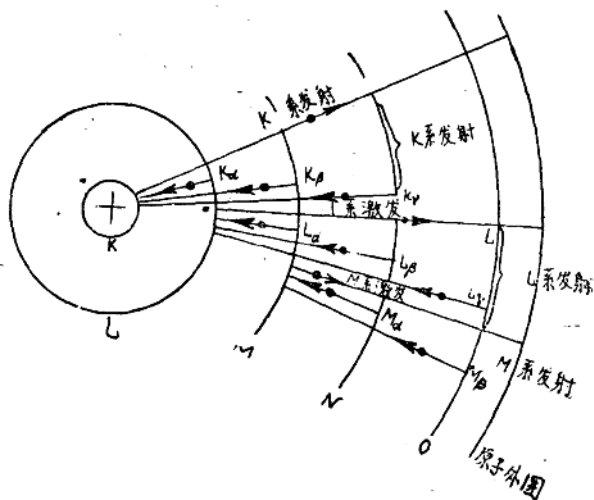


圖 3

等标識光譜系。

因为每种元素原子的电子層（能量級）的結構都有所不同，所以每种化学元素都具有自己的标識光譜。

实际上，在一秒鐘內能有很多的原子变为激發状态，例如帶有銅靶的X射線管，在工作条件为15毫安、30千伏下，一秒鐘內“逸出”的K-电子（排列在距原子核最近的“K”層上的电子）大約有 3×10^{14} 个原子。

在不同的原子中，由激發状态回复到正常状态的轉变可按不同的方式进行：在一些原子中，一个L-电子跳躍到K層的空穴上；在另一些原子中，可能是一个M-电子跳躍到K層的空穴上。因此同时产生出K-系譜綫以及L-系、M-系、N-系……譜綫。如果L-电子中的一个电子“逸出”，除K-系譜綫外，能

表 2 用作X射線管陽極的某些金屬K-系譜綫的波長

元素周期表中的元素号	元素名称	波長 λ (KX) ●			K-系激發电位(千伏)●	X射線管上适宜的工作电压(千伏)
		强 K_{α_2}	最 强 K_{α_1}	中 等 K_{β_1}		
1	2	3	4	5	6	7
24	Cr	2.2889	2.2850	2.0806	5.98	20—25
26	Fe	1.9360	1.9321	1.7530	7.10	30
27	Co	1.7892	1.7853	1.6174	7.71	30
28	Ni	1.6584	1.6545	1.4971	8.29	30—35
29	Cu	1.5412	1.5374	1.3894	8.86	35—40
42	Mo	0.7128	0.7078	0.6310	20.00	60
74	W	0.2135	0.2086	0.1842	69.30	110 (220)

● $1 \text{ KX} = 1.002 \text{ \AA}$.

● 激發电位——是X射線管上的电压，由此电压开始有K-系激發（达到陽極表面的电子所具有的能量可打出原子中的K-电子）。

产生出L-系、M-系、N-系……全部譜綫。

圖3為各系標識光譜產生示意圖。

為了說明獲得標識光譜的條件，有必要熟悉一下上面的表2。

現在再來談談X射線與物質的相互作用問題。

在一般情況下，當射線通過物質時所散失的一部分入射X射線能量●可能形成次級X射線（散射之線），使電子由物質的原子中跳出並放出熱量。

次級輻射的強度 $J_{\text{次級}}$ 是由如下三部分組成的：

$$J_{\text{次級}} = J_{\text{古典}} + J_{\text{標識}} + J_{\text{量子。}}$$

其中 $J_{\text{古典}}$ ——古典散射的強度（波長 λ 不變）；

$J_{\text{標識}}$ ——次級標識射線強度。

這些次級射線是當原射線束的X射線量子將物質中原子的電子打出時才被激發，隨後電子轉入到能量級低的軌道上，致使發射出次級標識光譜。

$J_{\text{量子}}$ ——波長稍有增加（與原射線束比較的一種次級輻射的強度。波長的增加（而光子可能損失一部分能量，是由於X射線量子與物質中電子彈性碰撞的結果。

參與量子效應的電子稱為反衝電子，而光子的能量供給了從原子中打出的電子稱為光電子。

如果反衝電子和光電子不能從物質中跳出來，則所得到的能量將以熱的形式變成了物質的內能。

圖4為X射線與物質相互作用的示意圖。

量子散射是結構分析中的干擾物，使背景（X射線相的黑度）增強，如果正確地選擇了發射射線（X射線管的陽極），次級標識射線並不影響對古典散射線的研究。

● 為簡便起見，假定入射線束中的波長具有同一嚴格規定的值。

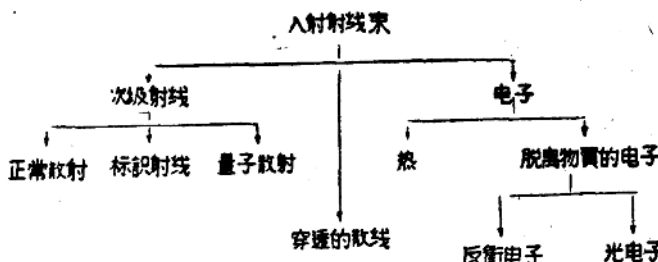


圖 4

由于X射線古典散射的最强点在空間的强度和方向是决定于散射物質中的原子排列，因而研究和描述这种散射的特征具有特別重要的意义。

为了对古典散射能有一般的概念，必須注意到当X射線在物質中傳播时，物質中产生了按簡諧規律^①而变化的交变電場，这些交变電場与原子的电子相互作用时，使原子的电子發生振动，电子的振动是强迫的振动，振动频率与電場的振动频率相同。

根据电动力学原理，振动电子必須發射出电磁波，这电磁波中的電場振动频率与电子振动频率相同。

这样一来，物質中的电子在与入射的X射線的作用下發生振动的同时，向四面八方發射出同一波長的电磁波輻射，也就散射出X射線。

由各种不同电子散射出的射線必然是相互干涉的。在一定

① 簡諧振动能够以正弦的數學式表示： $y = a \sin 2\pi \frac{t}{T}$

式中 y ——中間状态的振动大小（在这情况下为電場强度的变化），

a ——最大振动（振幅）；

$2\pi \frac{t}{T}$ ——振动相（ t ——时间， T ——周期）。

方向上散射線相互增強，也就是說在這些方向上散布出衍射的最強點。

衍射● 最強點的方向可用布拉格方程式來描述：

$$n\lambda = 2d \sin \theta.$$

其中 n ——整數（衍射級）；

λ ——X 射線波長；

θ ——衍射角之半（衍射角—— 2θ ——這是原 X 射線束的方向與衍射最強點的方向之間的夾角）；

d ——晶体中面間距離。

在晶体中通過原子作出平面，這種相鄰兩平面（平行平面簇中的平面）之間的距離稱為面間距離，這一概念可從兩維空間的圖解（圖 5）上得到理解。

如果 X 射線經受了原子平面（圖 6）的鏡面反射，則對於任何一種類型的晶体結構都可以得到布拉格方程。

如果相鄰二射線（例如 K_n 和 K_{n+1} ）的光程差 ($2d \sin \theta$)（在這種情況下為 $2d \sin \theta = AC - AB$ ）等於 X 射線波長 ($n\lambda$) 整數倍，則每對射線相互增強，結果在給定的方向上（和原射線束成 2θ 的方向）散布出衍射最強點。

晶体中平行平面簇很多，因此衍射最強點的個數也很多②。

用布拉格方程描述衍射最強點為最方便，但是應該注意在實際上原子平面沒有任何反射，僅僅當三維空間格子的原子散射出的波相互作用時，除一條射線（對於已知平面簇和已知反射級 n ）外，全部射線相互抵消，而得到一種效應，這種效

① 衍射——偏離原射線傳播方向的射線。在衍射時，原射線束分成為數個射線束，而原射線束（這時射線束大大的減弱了）在空間的方向仍保持不變。

② 衍射最強點的強度是不一樣的，實際上（如果為多晶體粉末）僅可記錄數個衍射最強點。

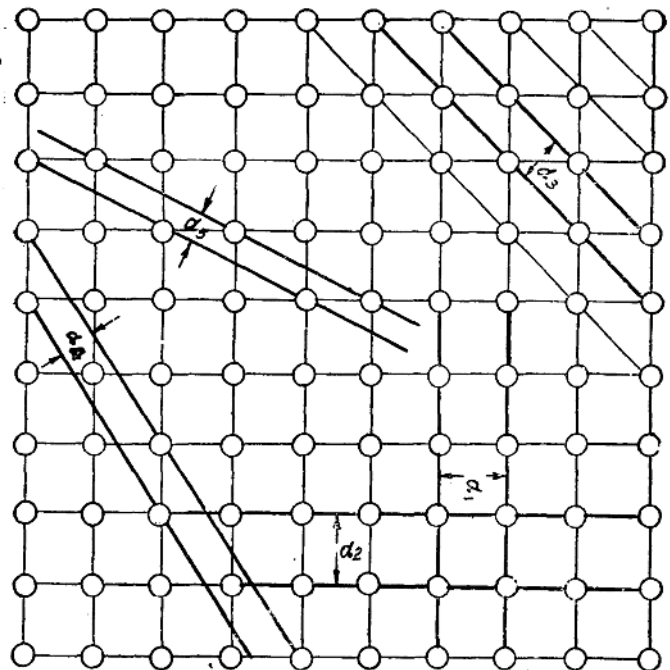


圖 5

应相当于 X 射线在一系列原子平面上发生“反射”。

分析一下布拉格方程，就很容易理解到 X 射线分析法的两大分类：X 射线结构分析和 X 射线光谱分析。

在布拉格方程

$$n\lambda = 2d \sin \theta$$

中，波长(λ)和面间距离(d)●都可能是未知数。

● 关于这一点，在前面第 11 頁已扼要提过。